



Perricone B

Ansaldi G., Barbagallo M. G., Brancadoro L., De Lorenzis G., Di Lorenzo R., Falco V., Fici G., Gagliano F., Marino G., Monteleone G., Pisciotta A., Scienza A., 2015. Perricone (Biotipo B). in: Italian Vitis Datababase, www.vitisdb.it. ISSN 2282-006X

release 15/11/2018, ultimo aggiorn. 15/11/2018 url <http://vitisdb.it/accessions/show/16139>

Informazioni gestite da

Regione Siciliana - Assessorato delle Risorse Agricole e Alimentari - Dip. Interventi Infrastrutturali per l'Agricoltura - Centro per l'Innovazione della Filiera Vitivinicola UOS Marsala
Dipartimento di Scienze Agrarie ed Ambientali - Università degli Studi di Milano
Dipartimento di Scienze Agrarie e Forestali - Università degli Studi di Palermo

Ringraziamenti

Regione Sicilia, Ager Foundation

Informazioni generali

nome Perricone B **codice** ITA430-14-2
nazione di selezione Italia **regione di selezione** Sicilia
provincia di selezione non disponibile **località di selezione** non disponibile
istituzione custode Regione Siciliana - Assessorato delle Risorse Agricole e Alimentari - Dip. Interventi Infrastrutturali per l'Agricoltura - Centro per l'Innovazione della Filiera Vitivinicola UOS Marsala
collezione Biesina-Marsala

Varietà & clone

tipo di origine spontanea **genere** Vitis
specie Vitis vinifera **sub specie** sativa
varietà Perricone **codice della varietà** IVD-var_359
clone non disponibile
trueness to type accertato con rilievi morfologici e microsatelliti

Trueness to type

True-name

confermato **si**

►bibliografia correlata (1)

| autori | anno | titolo | rivista | citazione |
|---|------|--|---------|--|
| Ansaldi G., Cartabellotta D., Falco V., Gagliano F., Scienza A. | 2014 | Identità e ricchezza del Vigneto Sicilia | | REGIONE SICILIANA Assessorato Regionale dell'Agricoltura, dello Sviluppo Rurale e della Pesca Mediterranea |

Trueness to type accertato con rilievi morfologici (ampelografici)

accertamento con rilievi morfologici (ampelografici) **accertato**

►bibliografia correlata (1)

| autori | anno | titolo | rivista | citazione |
|--------------|------|--------------------|---------|-----------------------------------|
| Bica Daniela | 2007 | Vitigni di Sicilia | | Assessorato Agricoltura e Foreste |

Trueness to type accertato con microsatelliti

accertamento con microsatelliti **accertato**

►bibliografia correlata (1)

| autori | anno | titolo | rivista | citazione |
|---|------|---|------------------------|--------------|
| De Lorenzis G., Las Casas G., Brancadoro L., Scienza A. | 2014 | Genotyping of Sicilian grapevine germplasm resources (V. vinifera L.) and their relationships with Sangiovese | Scientia Horticulturae | 169: 189-198 |

loci confrontati **n.d.**

loci identici **n.d.**

discrepanze

n.d.

Profilo microsatellite standardizzato

| loci: | loci predefiniti (9) | | | | | | | | | | | | | | | | | |
|-------------|------------------------|-----|-------|-----|-------|-----|--------|-----|---------|-----|---------|-----|--------|-----|--------|-----|--------|-----|
| locus SSR: | VVS2 | | VVMD5 | | VVMD7 | | VVMD27 | | VrZAG62 | | VrZAG79 | | VVMD25 | | VVMD28 | | VVMD32 | |
| allele: | A1 | A2 | A1 | A2 | A1 | A2 | A1 | A2 | A1 | A2 | A1 | A2 | A1 | A2 | A1 | A2 | A1 | A2 |
| dimensione: | 133 | 135 | 227 | 235 | 239 | 239 | 183 | 185 | 188 | 196 | 243 | 247 | 242 | 256 | 237 | 261 | 253 | 259 |

Immagini



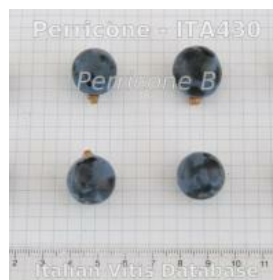
germoglio



foglia



grappolo



acino

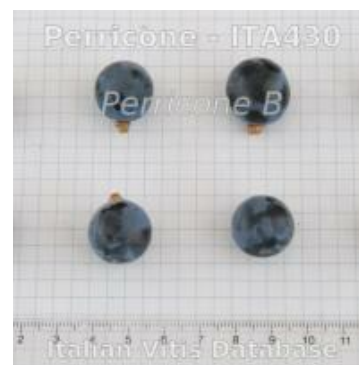


vinacciolo

Ampelografia

| OIV | descrizione | valore | | immagini |
|-----|---|-------------|------------------------------|----------|
| 001 | Giovane germoglio: apertura dell'apice | 5 | completamente aperto | |
| 003 | Giovane germoglio: intensità della pigmentazione antocianica dei peli striscianti dell'apice | 1 | nulla o molto bassa | |
| 004 | Giovane germoglio: densità dei peli striscianti dell'apice | 3 | bassa | |
| 006 | Germoglio: portamento (prima della legatura) | 1 / 3 | eretto / semi-eretto | |
| 007 | Germoglio: colore del lato dorsale degli internodi | 1 (Ø 3) | verde | |
| 008 | Germoglio: colore del lato ventrale degli internodi | 1 | verde | |
| 016 | Germoglio: numero di viticci consecutivi | 1 | 2 o meno | |
| 051 | Foglia giovane: colore della pagina superiore del lembo (4 a foglia) | 1 / 3 | verde / bronzato | |
| 053 | Foglia giovane: densità peli striscianti tra le nervature principali della pagina inferiore (4a foglia) | 1 | nulla o molto bassa | |
| 065 | Foglia adulta: dimensione del lembo | 5 | medio | |
| 067 | Foglia adulta: forma del lembo | 2 / 4 (Ø 3) | cuneiforme / orbicolare | |
| 068 | Foglia adulta: numero dei lobi | 2 (Ø 3) | tre | |
| 070 | Foglia adulta: distribuzione pigmentazione antocianica nervature principali pagina superiore | 1 | assente | |
| 072 | Foglia adulta: depressioni del lembo | 3 / 5 | deboli / medie | |
| 074 | Foglia adulta: profilo del lembo in sezione trasversale | 3 / 5 | involuta / contorta | |
| 075 | Foglia adulta: bollosità della pagina superiore del lembo | 1 | nulla o molto bassa | |
| 076 | Foglia adulta: forma dei denti | 2 / 3 | entrambi i lati rettilinei / | |

| | | | |
|-------|--|-------|---|
| | | | entrambi i lati convessi |
| 079 | Foglia adulta: grado di apertura / sovrapposizione dei bordi del seno peziolare | 3 / 5 | aperto / chiuso |
| 080 | Foglia adulta: forma della base del seno peziolare | 3 (2) | a V |
| 081-1 | Foglia adulta: denti del seno peziolare | 1 | assenti |
| 081-2 | Foglia adulta: base del seno peziolare delimitata dalla nervatura | 1 | non delimitata |
| 082 | Foglia adulta: grado di apertura / sovrapposizione dei seni laterali superiori | 3 | leggermente sovrapposti |
| 083-1 | Foglia adulta: forma della base dei seni laterali superiori | 1 | a U |
| 083-2 | Foglia adulta: denti nei seni laterali superiori | 1 | assenti |
| 084 | Foglia adulta: densità dei peli striscianti tra le nervature principali sulla pagina inferiore del lembo | 1 | nulla o molto bassa |
| 086 | Foglia adulta: densità dei peli striscianti sulle nervature principali della pagina inferiore del lembo | 1 | nulla o molto bassa |
| 087 | Foglia adulta: densità dei peli eretti sulle nervature principali della pagina inferiore del lembo | 1 | nulla o molto bassa |
| 093 | Foglia adulta: lunghezza del picciolo in rapporto alla lunghezza della nervatura mediana | 3 / 5 | leggermente più corto / uguale |
| 094 | Foglia adulta: profondità dei seni laterali superiori | 1 / 3 | assente o molto poco profondo / poco profondo |
| 151 | Fiore: organi sessuali | 3 | stami completamente sviluppati e gineceo completamente sviluppato |
| 202 | Grappolo: lunghezza (escluso il peduncolo) | 5 / 7 | medio / lungo |
| 204 | Grappolo: compattezza | 7 / 9 | compatto / molto compatto |
| 208 | Grappolo: forma | 1 / 2 | cilindrico / conico |
| 209 | Grappolo: numero di ali del grappolo principale | 2 | 1 - 2 ali |
| 220 | Acino: lunghezza | 5 / 3 | medio / corto |
| 221 | Acino: larghezza | 5 / 3 | medio / stretto |
| 223 | Acino: forma | 2 / 3 | sferoidale / ellissoidale largo |
| 225 | Acino: colore della buccia | 5 | rosso scuro violetto |
| 231 | Acino: intensità della pigmentazione antocianica della polpa | 1 | nulla o molto debole |
| 236 | Acino: particolarità dell'aroma | 1 | nessuna |
| 241 | Acino: sviluppo dei vinaccioli | 1 | nessuno |



Note ampelografiche

Questo vitigno, a dispetto della sua antica coltivazione, ha fatto rilevare, nel corso delle indagini sulla valorizzazione delle varietà autoctone siciliane, una ridotta variabilità intravarietale. Questo risultato è plausibilmente dovuto alla drastica contrazione della superficie coltivata con questo vitigno, successivamente all'avvento della fillossera che ha causato la perdita della variabilità intravarietale preesistente. Nonostante questi presupposti è stato possibile definire due biotipi che si caratterizzano per alcuni aspetti della morfologia dell'acino ed in particolare per le sue dimensioni, definendo così due biotipi biotipo A ad acino grande e biotipo B ad acino piccolo.

Ampelometria

OIV

| OIV | PDF | descrizione | valore |
|-----|-----|--|--------------|
| 601 | PDF | Foglia adulta: lunghezza della nervatura N1 | (Ø 105.12) |
| 602 | PDF | Foglia adulta: lunghezza della nervatura N2 | (Ø 94.80) |
| 603 | PDF | Foglia adulta: lunghezza della nervatura N3 | (Ø 70.07) |
| 604 | PDF | Foglia adulta: lunghezza della nervatura N4 | (Ø 45.08) |
| 605 | PDF | Foglia adulta: distanza dal seno peziolare al seno laterale superiore | (Ø 54.97) |
| 606 | PDF | Foglia adulta: distanza dal seno peziolare al seno laterale inferiore | (Ø 53.57) |
| 607 | PDF | Foglia adulta: angolo tra N1 e N2 misurato alla prima biforcazione | (Ø 55.32) |
| 608 | PDF | Foglia adulta: angolo tra N2 e N3 misurato alla prima biforcazione | (Ø 50.02) |
| 609 | PDF | Foglia adulta: angolo tra N3 e N4 misurato alla prima biforcazione | (Ø 53.28) |
| 611 | PDF | Foglia adulta: lunghezza della nervatura N5 | (Ø 20.98) |
| 617 | PDF | Foglia adulta: distanza tra l'estremità di N2 e l'estremità della prima nervatura secondaria di N2 | (Ø 42.87) |
| 618 | PDF | Foglia adulta: apertura/sovrapposizione del seno peziolare | (Ø -16.15) |

Superampelo

| distanze | | |
|---|---------|---------------------|
| descrittore | valore | deviazione standard |
| Distanza dal seno peziolare al seno inferiore sinistro | 54.390 | 8.320 |
| Distanza dal seno peziolare al seno inferiore destro | 52.740 | 5.840 |
| Distanza dal seno peziolare al seno superiore sinistro | 54.630 | 11.640 |
| Distanza dal seno peziolare al seno superiore destro | 55.320 | 9.010 |
| Nervatura N3', lunghezza dal seno peziolare alla nervatura N4' | 11.180 | 2.480 |
| Nervatura N3, lunghezza dal seno peziolare alla nervatura N4 | 11.770 | 2.610 |
| Lunghezza della nervatura N5' | 21.420 | 3.890 |
| Lunghezza della nervatura N5 | 20.540 | 5.380 |
| Lunghezza della nervatura N4' | 46.130 | 6.390 |
| Lunghezza della nervatura N4 | 44.030 | 6.540 |
| Distanza tra punto peziolare ed estremità della nervatura N4' | 53.920 | 7.600 |
| Distanza tra punto peziolare ed estremità della nervatura N4 | 52.420 | 7.490 |
| Lunghezza della foglia | 153.340 | 19.370 |
| Larghezza della foglia | 142.330 | 17.170 |
| Lunghezza della foglia compreso il picciolo | 183.140 | 25.340 |
| Lunghezza del picciolo | 78.020 | 12.700 |
| Lunghezza della nervatura N1 | 105.120 | 13.090 |
| Distanza tra gli estremi delle nervature N2 e N2' | 133.400 | 17.150 |
| Distanza tra gli estremi delle nervature N3 e N3' | 138.520 | 20.190 |
| Distanza tra gli estremi delle nervature N4 e N4' | 59.820 | 15.060 |
| Larghezza del seno peziolare / Distanza tra i punti SP e SP' | -16.150 | 7.840 |
| Lunghezza della nervatura N2 | 95.250 | 12.450 |
| Lunghezza della nervatura N2' | 94.340 | 15.590 |
| Lunghezza della nervatura N3 | 69.710 | 9.090 |
| Lunghezza della nervatura N3' | 70.430 | 11.220 |
| Distanza tra estremità di N2 e estremità della prima ramificazione laterale di N2 | 43.080 | 11.160 |
| Distanza tra estremità di N2' e estremità della prima ramificazione laterale di N2' | 42.670 | 11.350 |

| angoli | | |
|---|---------|---------------------|
| descrittore | valore | deviazione standard |
| Angolo tra N1 e N2 misurato alla prima biforcazione | 54.370 | 3.540 |
| Angolo tra N1 e N2' misurato alla prima biforcazione | 56.280 | 3.770 |
| Angolo tra N2 e N3 misurato alla prima biforcazione | 49.720 | 4.370 |
| Angolo tra N2' e N3' misurato alla prima biforcazione | 50.330 | 4.290 |
| Angolo tra N3 e N4 alla prima biforcazione di N3 | 52.280 | 6.640 |
| Angolo tra N3' e N4' | 54.280 | 4.330 |
| Angolo tra N1 e N2 misurato agli estremi delle nervature | 45.450 | 6.670 |
| Angolo tra N1 e N2' misurato agli estremi delle nervature | 44.800 | 7.880 |
| Angolo tra N2 e N3 misurato agli estremi delle nervature | 50.560 | 6.850 |
| Angolo tra N2' e N3' misurato agli estremi delle nervature | 53.390 | 4.350 |
| Angolo tra N3 e N4 misurato agli estremi delle nervature | 48.570 | 5.220 |
| Angolo tra N3' e N4' misurato agli estremi delle nervature | 49.370 | 4.760 |
| Angolo di apertura del seno peziolare misurato a SP e SP' | 33.480 | 16.320 |
| Angolo tra D e D' con centro in N1 | 103.460 | 8.720 |
| Angolo tra S e S' con centro in N1 | 55.430 | 10.340 |
| Angolo tra I e I' con centro in N1 | 53.180 | 3.690 |
| Angolo tra N3 e la tangente tra il punto peziolare e l'estremità N5 | 67.880 | 9.900 |
| Angolo tra N3' e la tangente tra il punto peziolare e l'estremità N5' | 69.240 | 6.030 |

| rapporti | | |
|--|--------|---------------------|
| descrittore | valore | deviazione standard |
| Rapporto tra l'altezza e la base del dente all'estremità della nervatura N4' | 0.980 | 0.130 |
| Rapporto tra l'altezza e la base del dente all'estremità della nervatura N4 | 1.000 | 0.140 |
| Rapporto tra l'altezza e la base del dente all'estremità della nervatura N2' | 0.960 | 0.190 |
| Rapporto tra l'altezza e la base del dente all'estremità della nervatura N2 | 1.000 | 0.140 |
| Rapporto tra la somma degli angoli a' + b' e la somma della distanza tra il seno peziolare e il seno superiore sinistro OS' e il seno peziolare e il seno inferiore sinistro OI' | 0.020 | 0.000 |
| Rapporto tra la somma degli angoli a + b e la somma della distanza tra il seno peziolare e il seno superiore destro OS e il seno peziolare e il seno inferiore destro OI | 0.020 | 0.000 |
| Rapporto tra la lunghezza della nervatura N5' e la lunghezza della nervatura N1 | 0.200 | 0.020 |
| Rapporto tra la lunghezza della nervatura N5 e la lunghezza della nervatura N1 | 0.190 | 0.040 |
| Rapporto tra la lunghezza della nervatura N4' e la lunghezza della nervatura N1 | 0.440 | 0.030 |
| Rapporto tra la lunghezza della nervatura N4 e la lunghezza della nervatura N1 | 0.420 | 0.050 |
| Rapporto tra la lunghezza della nervatura N3' e la lunghezza della nervatura N1 | 0.670 | 0.050 |
| Rapporto tra la lunghezza della nervatura N3 e la lunghezza della nervatura N1 | 0.670 | 0.060 |
| Rapporto tra la lunghezza della nervatura N2' e la lunghezza della nervatura N1 | 0.900 | 0.080 |
| Rapporto tra la lunghezza della nervatura N2 e la lunghezza della nervatura N1 | 0.910 | 0.060 |
| Rapporto tra la distanza dal seno peziolare al seno inferiore sinistro OI' e la lunghezza della nervatura N3' | 0.770 | 0.050 |
| Rapporto tra la distanza dal seno peziolare al seno inferiore destro OI e la lunghezza della nervatura N3 | 0.760 | 0.040 |
| Rapporto tra Lunghezza e larghezza della foglia | 1.080 | 0.060 |
| Rapporto tra la lunghezza del picciolo OP e la lunghezza della nervatura N1 | 0.740 | 0.050 |
| Rapporto tra la distanza dal seno la lunghezza della nervatura N2 | 0.580 | 0.080 |
| Rapporto tra la distanza dal seno peziolare la lunghezza della nervatura N2' | 0.580 | 0.100 |

Fenologia & produzione

| OIV | descrizione | valore | |
|-----|-------------------------------|--------|-----------------------------------|
| 301 | Epoca di germogliamento | 5 | media |
| 303 | Epoca d'inizio dell'invaiaura | 5 | medio |
| 351 | Viguria del germoglio | 5 / 3 | media (70-80 g) / bassa (50-60 g) |
| 502 | Grappolo: peso di un grappolo | 3 | basso (250-350 g) |
| 503 | Acino: peso di un acino | 3 | basso (2,5-3,5 g) |
| 505 | Tenore in zucchero del mosto | 7 | elevato (20,2-21,8) |
| 506 | Acidità totale del mosto | 3 | bassa (5,2-6,8) |
| 508 | pH del mosto | 5 | medio (3,2-3,3) |

Vegeto-produttivo

| sesto di impianto e forma di allevamento | valore | deviazione standard | numero di anni |
|--|-----------------|---------------------|----------------|
| Forma di allevamento | controspalliera | | |
| Sistema di potatura | | | |
| Distanza tra le file (m) | 2.400 | | |
| Distanza sulla fila (m) | 0.900 | | |

| vigore | valore | deviazione standard | numero di anni |
|---|--------|---------------------|----------------|
| Numero germogli/tralci per pianta (numero/pianta) | 12.710 | 1.660 | 4 |
| Numero germogli/tralci per metro di filare (numero/m) | 14.130 | 1.850 | 4 |
| Peso legno di potatura per pianta (kg) | 0.660 | 0.010 | 2 |
| Peso medio tralcio (g) | 53.710 | 1.820 | 2 |
| Peso legno di potatura per metro di filare (kg) | 0.730 | 0.020 | 2 |

| fertilità | valore | deviazione standard | numero di anni |
|--|--------|---------------------|----------------|
| Numero infiorescenze per germoglio alla fioritura (numero/germoglio) | 0.760 | 0.130 | 4 |
| Fertilità basale (grappoli/gemma) | 0.510 | 0.130 | 4 |

| quantità produzione | valore | deviazione standard | numero di anni |
|---|---------|---------------------|----------------|
| Diametro acino (media di 25 acini) - larghezza (mm) | 15.420 | 0.030 | 2 |
| Diametro acino (media di 25 acini) - lunghezza (mm) | 15.380 | 0.020 | 2 |
| Numero grappoli per pianta (numero/pianta) | 9.770 | 2.710 | 4 |
| Numero grappoli per metro lineare (numero/m) | 10.850 | 3.010 | 4 |
| Produzione per metro di filare (kg/m) | 2.580 | 1.600 | 4 |
| Produzione per pianta (kg/ceppo) | 2.320 | 1.440 | 4 |
| Peso medio grappolo (g) | 224.000 | 80.620 | 4 |
| Produzione per ettaro (t/ha) | 10.755 | 66.790 | 4 |
| Peso di 100 acini (g) | 232.000 | 10.000 | 4 |

| qualità produzione | valore | deviazione standard | numero di anni |
|--------------------------------------|--------|---------------------|----------------|
| Tenore in zucchero del mosto (°Brix) | 19.430 | 1.310 | 3 |
| Acidità titolabile del mosto (g/l) | 5.210 | 0.860 | 3 |
| pH (pH) | 3.440 | 0.040 | 3 |
| Antociani totali bucce (g/kg) | 0.990 | 0.220 | 2 |

Polifenoli uve

| flavonoli | buccia (mg/kg) (dev.st) | vinacciolo (mg/kg) (dev.st) | polpa (mg/kg) (dev.st) |
|--------------------------|-------------------------|-----------------------------|------------------------|
| miricetina monoglucoside | 5.09 | | |
| quercetina monoglucoside | 10.33 | | |
| quercetina glucuronide | 4.99 | | |
| camferolo monoglucoside | 2.85 | | |

| acidi idrossicinnamiltartarici | buccia (mg/kg) (dev.st) | vinacciolo (mg/kg) (dev.st) | polpa (mg/kg) (dev.st) |
|--------------------------------|-------------------------|-----------------------------|------------------------|
| ac. cis p-cumariol tartarico | 1.08 | | |
| ac. trans feruil tartarico | 0.22 | | |
| ac. trans caffeil tartarico | 7.79 | | |
| ac. trans p-cumariol tartarico | 3.71 | | |

| antociani monoglucosidi | buccia (mg/kg) (dev.st) | vinacciolo (mg/kg) (dev.st) | polpa (mg/kg) (dev.st) |
|-----------------------------|-------------------------|-----------------------------|------------------------|
| cianidina-3-monoglucoside | 81.52 | | |
| delfinidina-3-monoglucoside | 54.20 | | |
| petunidina-3-monoglucoside | 70.67 | | |
| peonidina-3-monoglucoside | 215.01 | | |
| malvidina-3-monoglucoside | 470.52 | | |

Note profilo polifenolico

acetati totali 13.34 mg/kg di uva p-cumarati 65.01 mg/kg di uva Nel vitigno Perricone, la malvidina-3-glucoside è l'antociano principale. Esso è seguito dalla peonidina-3-glucoside e dalla petunidina-3-glucoside, mentre i 3-glucosidi della cianidina e della delfinidina non raggiungono ciascuno 5% del totale. Il rapporto acetati/p-cumarati è sensibilmente minore di 1.

Aromi uve

nessun descrittore aromatico presente per Perricone B

Note aromi

Le uve di questa cultivar sono scarsamente dotate di precursori dei composti terpenici, dei norisoprenoidi e dei benzenoidi. Fra gli alcoli terpenici monoidrossilati prevale il geraniolo. Il rapporto fra gli isomeri trans e cis degli ossidi furanici del linalolo è maggiore di 1, fra gli isomeri trans e cis degli ossidi piranici del linalolo maggiore di 1, fra gli isomeri trans e cis dell'8-idrossi linalolo è maggiore di 1, fra linalolo e geraniolo minore di 1. Nessuna caratteristica particolare si rileva dal profilo dei norisoprenoidi e dei benzenoidi. Vedere l'accessione Perricone A

Altri descr.

nessun "altro" descrittore disponibile per Perricone B

Accessioni della medesima varietà (1)

- Perricone B - Regione Siciliana - Assessorato delle Risorse Agricole e Alimentari - Dip. Interventi Infrastrutturali per l'Agricoltura - Centro per l'Innovazione della Filiera Vitivinicola UOS Marsala